

Table des genres

Objektyp: **Chapter**

Zeitschrift: **Insecta Helvetica. Fauna**

Band (Jahr): **3 (1964)**

PDF erstellt am: **13.09.2024**

Nutzungsbedingungen

Die ETH-Bibliothek ist Anbieterin der digitalisierten Zeitschriften. Sie besitzt keine Urheberrechte an den Inhalten der Zeitschriften. Die Rechte liegen in der Regel bei den Herausgebern.

Die auf der Plattform e-periodica veröffentlichten Dokumente stehen für nicht-kommerzielle Zwecke in Lehre und Forschung sowie für die private Nutzung frei zur Verfügung. Einzelne Dateien oder Ausdrucke aus diesem Angebot können zusammen mit diesen Nutzungsbedingungen und den korrekten Herkunftsbezeichnungen weitergegeben werden.

Das Veröffentlichen von Bildern in Print- und Online-Publikationen ist nur mit vorheriger Genehmigung der Rechteinhaber erlaubt. Die systematische Speicherung von Teilen des elektronischen Angebots auf anderen Servern bedarf ebenfalls des schriftlichen Einverständnisses der Rechteinhaber.

Haftungsausschluss

Alle Angaben erfolgen ohne Gewähr für Vollständigkeit oder Richtigkeit. Es wird keine Haftung übernommen für Schäden durch die Verwendung von Informationen aus diesem Online-Angebot oder durch das Fehlen von Informationen. Dies gilt auch für Inhalte Dritter, die über dieses Angebot zugänglich sind.

chez les individus âgés, la pilosité est en partie arrachée, les mandibules sont émoussées (parfois elles ne se touchent plus que par leur extrémité, au lieu de se croiser), d'autres organes encore sont plus ou moins usés. Enfin, il ne faut pas oublier que si certaines espèces sont relativement stables, d'autres présentent une variation marquée de la structure, de la sculpture ou de la coloration ; c'est ainsi que le phénomène de croissance dysharmonique (variation de la morphologie en rapport avec la taille des individus) peut provoquer des étonnements chez l'entomologiste non averti (voir par exemple les figures 377-382 et : DE BEAUMONT 1943).

Certaines espèces, qui n'ont pas été trouvées dans notre pays, pourraient cependant s'y rencontrer ; celles dont la présence me paraît la plus vraisemblable ont été brièvement décrites, en petits caractères, mais ne figurent pas dans les tables de détermination.

Problèmes à étudier

Il reste un travail considérable à faire pour que soient connues de façon satisfaisante la répartition dans notre pays, les périodes d'apparition, l'écologie et l'éthologie des diverses espèces.

Mais l'on devra résoudre aussi des problèmes systématiques, que j'ai récemment évoqués (1964). Dans certains genres, il existe des formes très voisines dont la valeur taxonomique est difficile à préciser ; on peut se demander si ce sont des espèces distinctes, des sous-espèces, des races biologiques ou de simples formes. Cette situation se présente en particulier chez *Ammophila campestris* LATR., *Psenulus pallipes* PANZ., *Trypoxylon figulus* L. et divers *Pemphredon*. Ce sont des cas où l'étude morphologique seule, basée sur un matériel insuffisant, ne permet pas d'aboutir à une solution certaine. Mieux vaut donc rester dans l'expectative plutôt que de trancher arbitrairement ; je signalerai donc brièvement ces difficultés, laissant à d'autres le soin de les surmonter par des méthodes appropriées : étude d'un matériel très important, élevages, tentatives de croisement, etc. Dans la plupart des cas, j'ai employé, pour désigner ces types douteux, le terme de « forme », qui ne préjuge pas de leur valeur taxonomique.

TABLE DES GENRES

a) Une seule cellule cubitale aux ailes antérieures (fig. 11 à 24)

- | | | |
|---|---|---------------------------|
| 1 | Bord interne des yeux fortement échancré (fig. 11) ; abdomen allongé, noir | p. 82, Trypoxylon |
| — | Bord interne des yeux non échancré | 2 |
| 2 | Stigma très gros, beaucoup plus long, au bord antérieur de l'aile, que la cellule radiale qui lui fait suite (fig. 14) ; très petites espèces (2,5-3 mm.) noires. | p. 118, Ammoplanus |

- Stigma proportionnellement beaucoup plus petit et cellule radiale plus longue 3
- 3 Bords internes des yeux convergents vers le vertex (voir fig. 48) ; ailes postérieures sans nervures nettes ; petite espèce (3,5–4,5 mm.) noire p. 80, **Nitela**
- Bords internes des yeux parallèles ou convergents vers le clypéus (fig. 12) ; ailes postérieures avec des nervures nettes ; espèces généralement plus grandes et souvent tachées de jaune . . . 4
- 4 Cellules cubitale et 1^{re} discoïdale réunies (fig. 15) ; postscutellum avec 2 lamelles transparentes et base du propodéum avec un appendice canaliculé, le mucron (fig. 18) p. 156, **Oxybelus**
- Cellules cubitale et 1^{re} discoïdale séparées par une nervure (fig. 16) ; ni lamelles au postscutellum ni mucron au propodéum 5

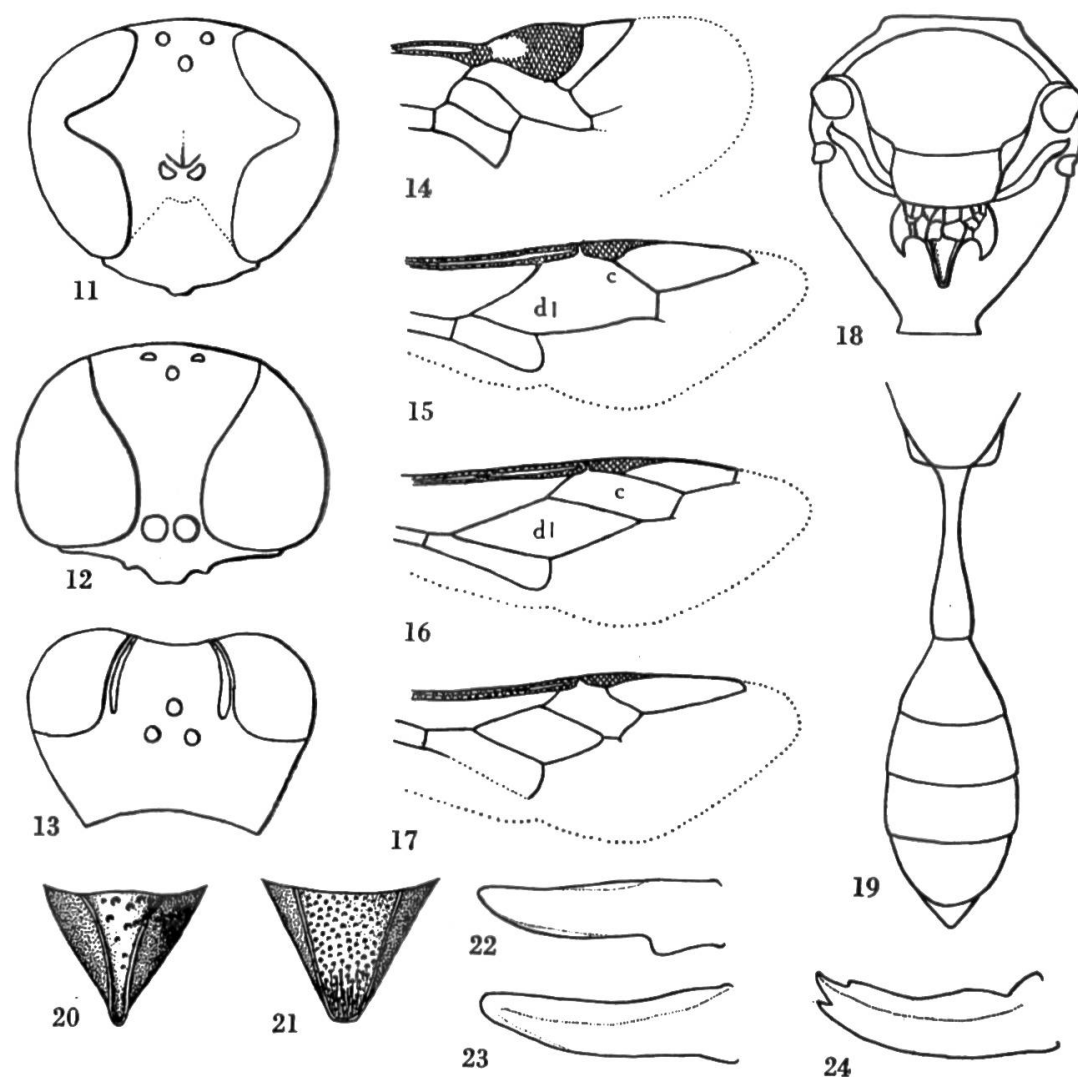


Fig. 11-24. Sphecidae a une cellule cubitale. — 11. *Trypoxylon figulus* ♀, tête. — 12. *Ectemnius dives* ♀, tête. — 13. *Lestica clypeata* ♀, tête. — 14. *Ammoplanus*, aile antérieure. — 15. *Oxybelus*, id. — 16. *Ectemnius*, id. — 17. *Nitela*, id. — 18. *Oxybelus*, thorax. — 19. *Rhopalum*, abdomen. — 20. *Ectemnius* ♀, aire pydigiale. — 21. *Crabro* ♀, id. — 22. *Entomognathus*, mandibule. — 23. *Lindenius*, id. — 24. *Crossocerus*, id.

- 5 Mandibules unidentées à l'extrémité (fig. 22, 23) ; abdomen sans taches jaunes ; ocelles en angle obtus 6
- Mandibules bi-, tri- ou quadridentées à l'extrémité (fig. 24) ; si elles sont unidentées (*Crossocerus quadrimaculatus* ♀), l'abdomen est taché de jaune et les ocelles en triangle équilatéral 7
- 6 Yeux avec une pilosité dressée bien visible à contre jour ; mandibules échancrées au bord inférieur (fig. 22) p. 153, **Entomognathus**
- Yeux nus ; mandibules non échancrées (fig. 23) p. 151, **Lindenius**
- 7 Le 1^{er} segment abdominal allongé, pétioliforme (fig. 19) ; pas de carène épincémiale à la partie antérieure des mésopleures ; abdomen sans taches jaunes p. 153, **Rhopalum**
- Le 1^{er} segment abdominal court ou, s'il est légèrement pétioliforme (*Cuphopterus*), l'abdomen est taché de jaune ; mésopleures avec une carène épincémiale, au moins dans leur partie supérieure 8
- 8 Abdomen noir ; mésopleures lisses ou ponctuées ; aire dorsale du propodéum nettement limitée en arrière par un sillon, ou toute la face postérieure du propodéum lisse ou très finement sculptée ; ocelles en triangle à peu près équilatéral p. 135, **Crossocerus**
- Abdomen généralement taché de jaune ; certaines espèces peuvent avoir exceptionnellement l'abdomen noir, mais ne présentent alors pas simultanément les autres caractères cités 9
- 9 Aire dorsale du propodéum lisse et brillante, nettement limitée en arrière par un sillon ; ocelles en triangle à peu près équilatéral ; mésopleures brillantes, peu ponctuées p. 135, **Crossocerus**
- Aire dorsale du propodéum plus ou moins fortement striée ou réticulée ; ocelles généralement en angle obtus ; mésopleures souvent striées 10
- 10 Abdomen nettement et fortement ponctué ; impressions frontales étroites, très nettement limitées (fig. 13) ; tête du ♂ souvent très rétrécie en arrière p. 129, **Lestica**
- Abdomen (chez les espèces d'Europe centrale) à ponctuation indistincte ou très fine ; impressions frontales beaucoup moins distinctes 11
- 11 ♂ : 13 articles aux antennes, qui sont souvent dilatées ; tibias antérieurs généralement dilatés en bouclier ; ♀ : aire pygidiale plane (fig. 21) p. 131, **Crabro**
- ♂ : 12 articles aux antennes ; tibias antérieurs jamais fortement dilatés en bouclier ; ♀ : aire pygidiale creusée en gouttière (fig. 20) p. 120, **Ectemnius**

b) *Deux cellules cubitales aux ailes antérieures*
(fig. 25 à 31)

- 1 Prothorax très allongé ; mésonotum parcouru sur toute sa longueur par 2 sillons parallèles très nets (fig. 29) ; 1^{er} segment abdominal très rétréci à la base ; une espèce, très rare p. 31, **Ampulex**
- Prothorax normal ; mésonotum à sillons plus courts ou absents 2

- 2 Abdomen avec un pétiole très net (fig. 30) ; espèces entièrement noires 3
- Abdomen non pétiolé ou avec un pétiole plus court que long 4
- 3 Une seule cellule discoïdale ; stigma très gros (fig. 25) p. 113, **Stigmus**
- Deux cellules discoïdales ; stigma plus petit (fig. 26) p. 96, **Pemphredon**
- 4 La 2^e cellule cubitale pétiolée (fig. 28) p. 78, **Miscophus**
- La 2^e cellule cubitale non pétiolée 5

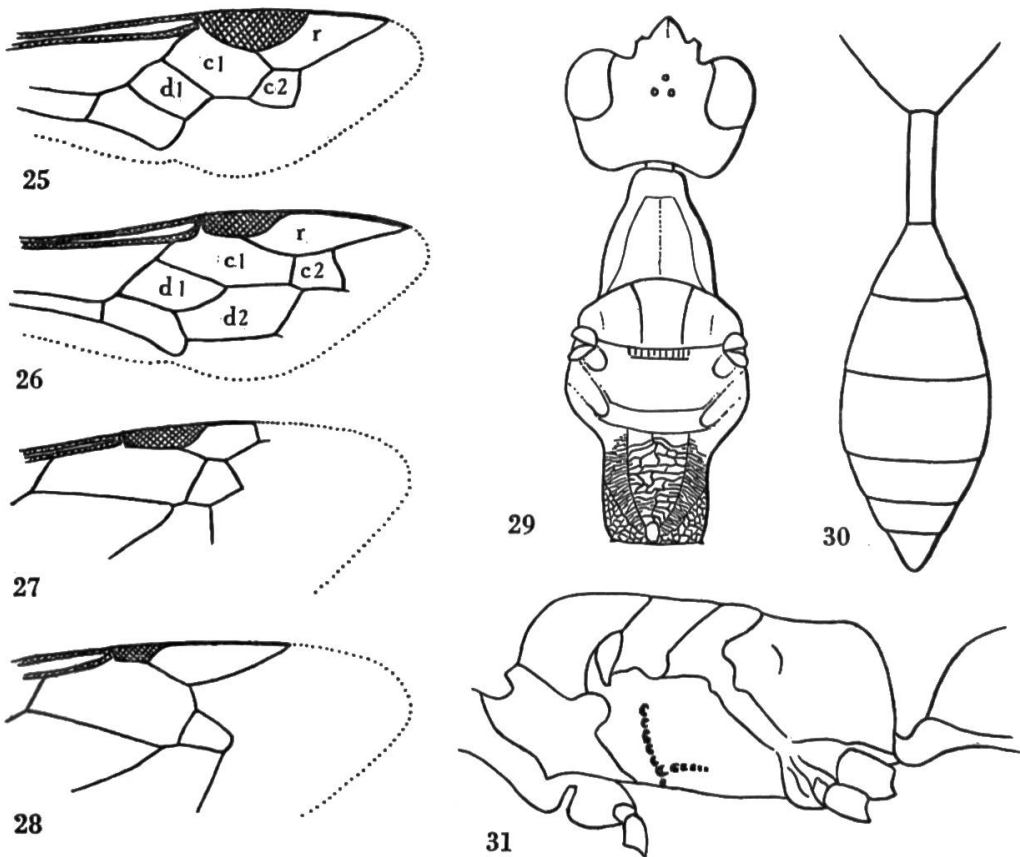


Fig. 25-31. Sphecidae à 2 cellules cubitales. — 25. *Stigmus*, aile antérieure. — 26. *Pemphredon*, id. — 27. *Dinetus*, id. — 28. *Miscophus*, id. — 29. *Ampulex fasciata*, tête et thorax. — 30. *Psen*, abdomen. — 31. *Passaloecus*, thorax.

- 5 Cellule radiale courte et largement tronquée (fig. 27) ; abdomen en partie rouge ou jaune p. 81, **Dinetus**
- Cellule radiale longue et pointue à l'extrémité ; abdomen noir 6
- 6 Une seule cellule discoïdale ; stigma très gros (voir fig. 25) p. 114, **Spilomena**
- Deux cellules discoïdales ; stigma plus petit (voir fig. 26) 7
- 7 Mésopleures lisses ou très finement ponctuées avec deux ou trois lignes de points (fig. 31) ; tibias 3 sans épines ; ♀ sans aire pygidiale p. 104, **Passaloecus**

- Mésopleures plus ou moins fortement réticulées ; tibias 3 avec de petites épines ; ♀ avec une aire pygidiale sur le 6^e tergite
p. 110, **Diodontus**

c) *Trois cellules cubitales aux ailes antérieures*
(fig. 32 à 53)

- 1 Abdomen avec un pétiote, généralement long, formé par le 1^{er} sternite seul (voir fig. 30) ; abdomen (sauf parfois le pétiote) sans taches jaunes 2
- Abdomen non pétiolé ; le 1^{er} segment abdominal parfois rétréci à la base, mais cette partie rétrécie n'est pas formée par le sternite seul (fig. 41) ; abdomen souvent taché de jaune 6
- 2 Pétiote régulièrement cylindrique ; tibias 2 à deux éperons ; taille : 10–25 mm. 3
- Pétiote avec des carènes longitudinales ; tibias 2 à un seul éperon ; taille : 4,5–12 mm. 5
- 3 Abdomen sans coloration rouge ; pattes tachées de jaune ou corps à reflets métalliques ; ♀ sans peigne au tarse I
p. 29, **Sceliphron**
- Abdomen plus ou moins rouge à la base ; pattes sans taches jaunes et corps sans reflets métalliques ; ♀ avec un peigne au tarse I 4
- 4 Les deux nervures récurrentes aboutissent dans la 2^e cellule cubitale (fig. 34) p. 23, **Ammophila**
- Les nervures récurrentes aboutissent l'une dans la 2^e, l'autre dans la 3^e cellule cubitale (fig. 35) p. 27, **Sphex**
- 5 Cellule anale de l'aile postérieure se terminant après l'origine du cubitus (fig. 51) ; face avec un tubercule entre les antennes ou une carène transversale réunissant les bords inférieurs des insertions antennaires (fig. 47) p. 86, **Psen**
- Cellule anale de l'aile postérieure se terminant avant l'origine du cubitus (fig. 50) ; face avec une forte carène transversale en dessous des insertions antennaires (fig. 45) p. 93, **Psenulus**
- 6 La 2^e cellule cubitale nettement pétiolée (fig. 38, 39) 7
- La 2^e cellule non pétiolée 10
- 7 Le 1^{er} segment abdominal nodiforme, plus étroit que le 2^e ; des étranglements entre les segments suivants (fig. 42) ; cellule radiale arrondie à l'extrémité p. 34, **Cerceris**
- Le 1^{er} segment abdominal n'est pas nodiforme (fig. 43) ; pas d'étranglements entre les segments suivants 8
- 8 Cellule radiale légèrement tronquée à l'extrémité, avec une petite cellule accessoire (fig. 38) ; très petite espèce (3–4,5 mm.) à abdomen noir p. 80, **Solierella**
- Cellule radiale pointue à l'extrémité (fig. 39) ; espèces plus grandes, à abdomen taché de jaune ou de rouge 9
- 9 Stigma très peu développé ; les deux nervures récurrentes aboutissent dans la 2^e cellule cubitale (fig. 39) ; pronotum court
p. 56, **Nysson**

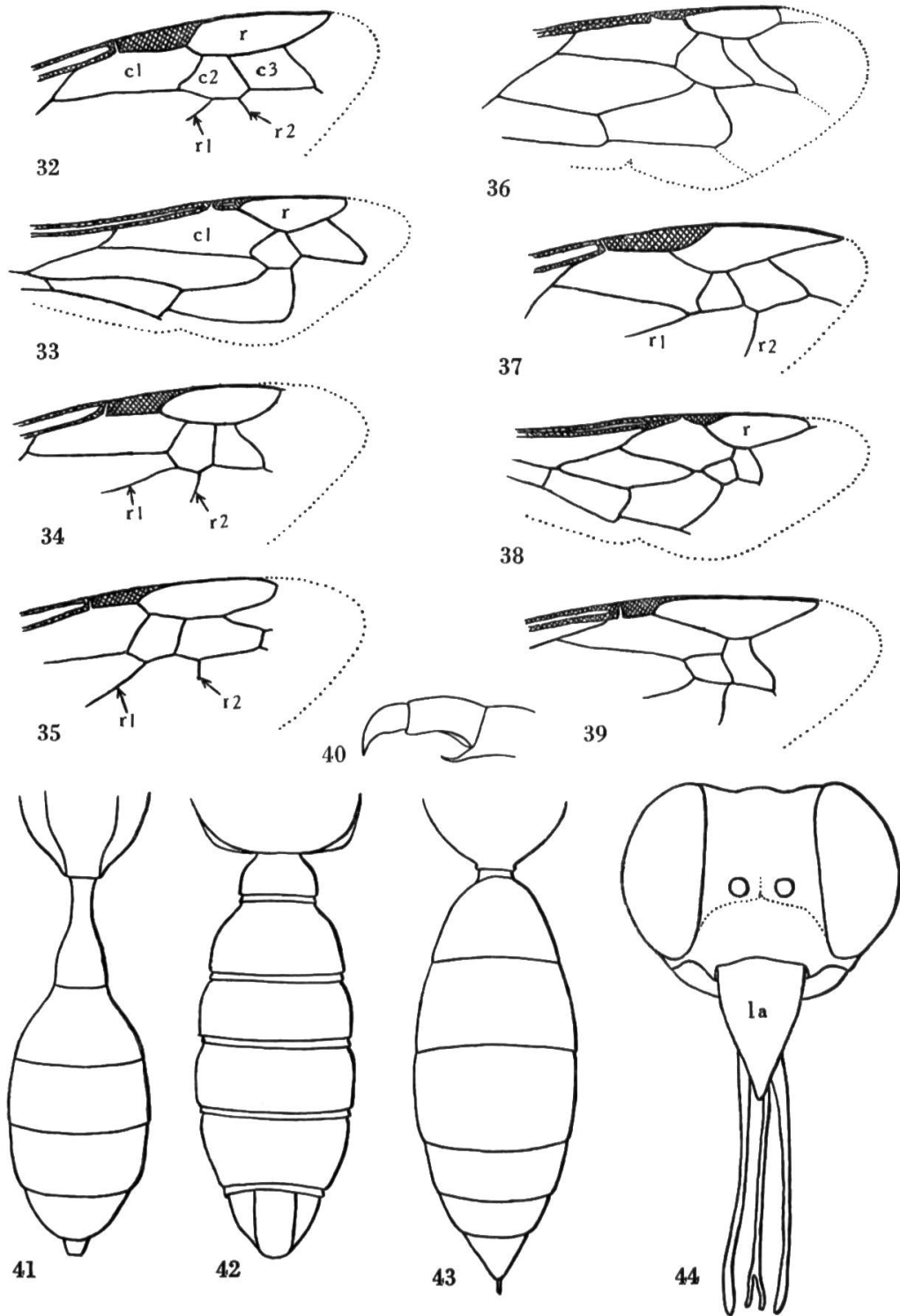


Fig. 32-44. Sphecidae à 3 cellules cubitales. — 32. *Gorytes*, aile antérieure. — 33. *Bembecinus*, id. — 34. *Ammophila*, id. — 35. *Sphex*, id. — 36. *Tachysphex*, id. — 37. *Mellinus*, id. — 38. *Solierella*, id. — 39. *Nysson*, id. — 40. *Bembecinus tridens* ♂, extrémité de l'antenne. — 41. *Mellinus*, abdomen. — 42. *Cerceris*, id. — 43. *Gorytes*, id. — 44. *Bembix*, tête. — la. labre.

- Stigma bien développé ; la 1^{re} nervure récurrente aboutit souvent dans la 1^{re} cellule cubitale ; pronotum plus ou moins allongé
p. 62, **Alysson**
- 10 Les nervures récurrentes aboutissent l'une dans la 1^{re}, l'autre dans la 3^e cellule cubitale (fig. 37) ; 1^{er} segment abdominal allongé, renflé à l'extrémité (fig. 41) ; abdomen noir et jaune ou noir et blanchâtre p. 64, **Mellinus**
- Les nervures récurrentes aboutissent l'une dans la 2^e, l'autre dans la 3^e cellule cubitale (voir fig. 35) 11
- Les nervures récurrentes aboutissent toutes deux dans la 2^e cellule cubitale (fig. 36) 12
- 11 Bord interne des yeux échancré (fig. 46) ; abdomen noir et jaune ou entièrement jaune p. 33, **Philanthus**
- Bord interne des yeux non échancré ; abdomen noir ou noir et rouge p. 31, **Dolichurus**
- 12 Cellule radiale généralement pointue à l'extrémité, parfois un peu tronquée, mais sans cellule accessoire (fig. 32) ; bords internes des yeux parallèles ou convergents vers le clypéus (fig. 49) ; abdomen généralement avec des bandes ou des taches jaunes ou blanchâtres 13

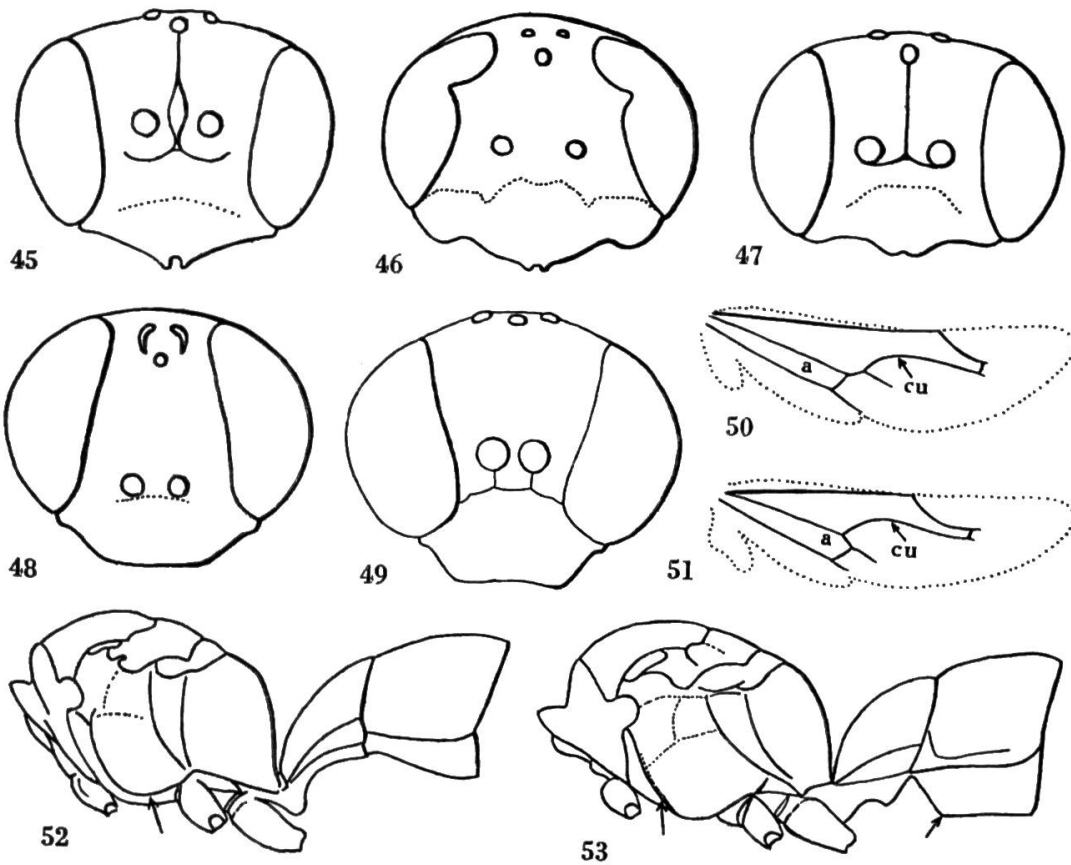


Fig. 45-53. Sphecidae à 3 cellules cubitales. — 45. *Psenulus*, tête. — 46. *Philanthus*, id. — 47. *Psen*, id. — 48. *Tachytes*, id. — 49. *Gorytes*, id. — 50. *Psenulus*, aile postérieure. — 51. *Psen*, id. — 52. *Gorytes*, thorax et base de l'abdomen. — 53. *Argogorytes*, id.

- Cellule radiale avec une cellule accessoire (fig. 36); bords internes des yeux convergents vers le vertex (fig. 48); abdomen noir ou noir et rouge, très rarement avec des taches blanches 16
- 13 Labre plus long que large, formant une sorte de bec (fig. 44); taille: 12-20 mm. p. 54, **Bembix**
- Labre pas plus long que large 14
- 14 La 1^{re} cellule cubitale est beaucoup plus longue que la radiale; stigma très réduit (fig. 33); 6^e tergite de la ♀ sans aire pygidiale; extrémité des antennes du ♂: fig. 40 p. 53, **Bembecinus**
- La 1^{re} cellule cubitale est plus courte ou à peine plus longue que la radiale; stigma bien développé (fig. 32); 6^e tergite de la ♀ presque toujours avec une aire pygidiale nette; extrémité des antennes du ♂ simple 15
- 15 Le 2^e sternite, vu de profil, est nettement anguleux à la base (fig. 53); les carènes épincémiales rejoignent la carène antérieure du mésosternum (fig. 7) p. 52, **Argogorytes**
- Le 2^e sternite, vu de profil, est régulièrement arrondi (fig. 52); dans leur partie inférieure, les carènes épincémiales se recourbent en arrière et rejoignent les hanches 2 (fig. 8, 9) p. 42, **Gorytes**
- 16 Stigma bien développé; ocelles normaux; yeux du ♂ se touchant sur le vertex p. 65, **Astata**
- Stigma peu développé (fig. 36); ocelles postérieurs aplatis et déformés; yeux du ♂ ne se touchant pas 17
- 17 Un bourrelet saillant le long du bord interne des yeux; taille: 12-22 mm. p. 71, **Larra**
- Pas de bourrelet le long du bord interne des yeux; taille: 4-13 mm. 18
- 18 Aire pygidiale de la ♀ et 7^e tergite du ♂ recouverts de pilosité couchée p. 77, **Tachytes**
- Aire pygidiale de la ♀ et 7^e tergite du ♂ glabres p. 72, **Tachysphex**

SPHECINAE

Groupe bien isolé, caractérisé en particulier par le 1^{er} sternite abdominal transformé en un pétiole cylindrique, parfois très long. Espèces de taille grande ou moyenne, généralement noires avec l'abdomen rouge à la base, parfois avec des reflets métalliques, parfois tachées de jaune sur le thorax. Bords internes des yeux sans échancrure, parallèles ou convergents vers le clypéus; mandibules sans échancrure au bord inférieur; propodéum allongé, avec une aire dorsale plus ou moins définie; pas d'aire pygidiale; cellule radiale sans cellule accessoire; trois cellules cubitales; lobe basal de l'aile postérieure long; deux épérons aux tibias 2.